

продолжительности зондирующего импульса $0 < t_0 < 2\kappa_2$, кривая 2 — $-2\kappa_2 \leq t_0 < 4\kappa_2$. Результаты численных расчетов показали, что в формуле (17) с достаточной для практики точностью можно ограничиться тремя членами ряда.

1. Исакович М. А. Общая акустика.— М.: Наука, 1973.— 430 с.
2. Підстригач Я. С. Про один випадок ускладнення граничних умов в задачах гідропружності.— Доп. АН УРСР. Сер. А, 1975, № 3, с. 235—238.
3. Селезов И. Т., Яковлев В. В. Дифракция волн на симметричных неоднородностях.— Киев: Наук. думка, 1978.— 146 с.
4. Термоупругость электропроводных тел / Я. С. Подстригач, Я. И. Бурак, А. Р. Гачкевич, Л. В. Чернявская.— Киев: Наук. думка, 1977.— 247 с.

Институт прикладных проблем механики
и математики АН УССР

Поступила в редколлегию
21.12.78

УДК 533.6.013.42

А. П. Поддубняк

ОТРАЖЕНИЕ И ПРЕЛОМЛЕНИЕ ПЛОСКОГО ЗВУКОВОГО ИМПУЛЬСА НА ДВУХСЛОЙНОЙ АКУСТИЧЕСКОЙ СФЕРЕ

Пусть на двухслойную акустическую сферу, находящуюся в акустической среде, набегают плоский звуковой импульс давления

$$p_i(r, \theta, \tau) = p_0 f(\tau'), \quad \tau' = \tau + r \cos \theta, \quad f(\tau') \equiv 0 \quad (\tau' \leq 0). \quad (1)$$

Здесь и далее p_0 — постоянная, имеющая размерность давления; r, θ — сферические координаты с началом отсчета в центре сферы; $f(\tau')$ — заполнение импульса; $\tau = ct/a$; t — время; a, b — радиусы сферы; $\varepsilon = a/b < 1$; c, c_1, c_2 — скорости звука; ρ, ρ_1, ρ_2 — плотности в окружающей среде, оболочке и заполнителе соответственно. Все линейные величины системы отнесены к внешнему радиусу оболочки a .

Для определения перензлученного сигнала необходимо решить дифференциальные уравнения движения акустических сред с учетом условий гидроакустического контакта [1], принципа причинности [3] и ограниченности искоемых функций.

С помощью интегрального преобразования Фурье по τ и метода разделения переменных точное решение задачи — давление в эхо-сигнале — находим в виде интеграла свертки

$$p_e(r, \theta, \tau) = \int_{-\infty}^{\infty} f(\tau - \xi) \mathcal{P}_e(r, \theta, \xi) d\xi, \quad (2)$$

где

$$\mathcal{P}_e(r, \theta, \tau) = \frac{1}{2\pi} \int_{-\infty}^{\infty} \overline{\mathcal{P}}_e(r, \theta, \omega) e^{-i\omega\tau} d\omega; \quad (3)$$

$$\overline{\mathcal{P}}_e(r, \theta, \omega) = p_0 \sum_{n=0}^{\infty} (-i)^n (2n+1) a_n(\omega) h_n^{(1)}(\omega r) P_n(\cos \theta); \quad (4)$$

$$a_n(\omega) = \frac{1}{2} (1 + y^{-1} F_n), \quad F_n = \frac{z^2 - q}{z^2 + q}, \quad q = \frac{D_{10}}{D_{20}},$$

$$D_{10} = \begin{vmatrix} A_{22} & A_{23} & 0 \\ A_{32} & A_{33} & A_{34} \\ A_{42} & A_{43} & A_{44} \end{vmatrix}, \quad D_{20} = \begin{vmatrix} A_{12} & A_{13} & 0 \\ A_{32} & A_{33} & A_{34} \\ A_{42} & A_{43} & A_{44} \end{vmatrix}, \quad (5)$$

$$A_{12} = -j_n(\omega_1), \quad A_{13} = -n_n(\omega_1), \quad A_{22} = -N_1 \omega_1 j'_n(\omega_1),$$

$$\begin{aligned}
A_{23} &= -N_1 \omega_1 n'_n(\omega_1), & A_{32} &= j_n(\omega_1 \varepsilon), & A_{33} &= n_n(\omega_1 \varepsilon), \\
A_{34} &= -j_n(\omega_2 \varepsilon), & A_{42} &= (\omega_1 \varepsilon) j'_n(\omega_1 \varepsilon), \\
A_{43} &= (\omega_1 \varepsilon) n'_n(\omega_1 \varepsilon), & A_{44} &= -N_2(\omega_2 \varepsilon) j'_n(\omega_2 \varepsilon), \\
z^j &= \omega h_n^{(j)'}(\omega)/h_n^{(j)}(\omega), & y &= h_n^{(1)}(\omega)/h_n^{(2)}(\omega), & \omega_j &= \omega/\beta_j, \\
\beta_j &= c_j/c, & j &= 1, 2, & N_1 &= \rho/\rho_1, & N_2 &= \rho_1/\rho_2;
\end{aligned}$$

$j_n(x)$, $n_n(x)$, $h_n^{(j)}(x)$ — сферические функции Бесселя; $P_n(x)$ — полином Лежандра.

Ряд (4), представляющий собой с точностью до $e^{-i\omega r}$ давление в стационарной переизлученной волне, разложенное по нормальным модам, с помощью преобразования Зоммерфельда — Ватсона [4] можно преобразовать в контурный интеграл по комплексной переменной $\alpha = n$. Часть этого интеграла с контуром интегрирования, охватывающим полюсы функции $F(\alpha) = F_n$ при $\text{Im } \alpha \geq 0$, позволяет выделить вклады, соответствующие поверхностным волнам [7]. Исследование поверхностных волн будет проведено в последующей статье. Здесь мы займемся вычислением другой части интеграла с контуром C_s вдали от указанных полюсов, что соответствует рассмотрению волн отражения и прохождения [5—7]. Этот интеграл имеет вид

$$(\overline{\mathcal{P}}_e)_g = \overline{\mathcal{P}}_g = p_0 \int_{C_s} e^{-i\pi\alpha/2} (2\alpha + 1) a_\alpha(\omega) h_\alpha^{(1)}(\omega r) Q_\alpha^{(2)}(\theta) d\alpha, \quad (6)$$

где

$$Q_\alpha^{(2)}(\theta) = \frac{1}{2} \left[P_\alpha(\cos \theta) - \frac{2i}{\pi} Q_\alpha(\cos \theta) \right];$$

$P_\alpha(x)$, $Q_\alpha(x)$ — сферические функции Лежандра.

Введем функции

$$\begin{aligned}
y_j &= \frac{h_\alpha^{(1)}(\omega_j)}{h_\alpha^{(2)}(\omega_j)}, & \bar{y}_j &= \frac{h_\alpha^{(1)}(\omega_j \varepsilon)}{h_\alpha^{(2)}(\omega_j \varepsilon)}, & j &= 1, 2, \\
z_j^k &= \omega_j \frac{h_\alpha^{(k)'}(\omega_j)}{h_\alpha^{(k)}(\omega_j)}, & \bar{z}_j^k &= (\omega_j \varepsilon) \frac{h_\alpha^{(k)'}(\omega_j \varepsilon)}{h_\alpha^{(k)}(\omega_j \varepsilon)}
\end{aligned} \quad (7)$$

и преобразуем $F(\alpha)$ к виду [5, 6]

$$F(\alpha) = R_{12} - T_{12} T_{21} \sum_{m=1}^{\infty} R_{21}^{m-1} S_{12}^m y_1^m, \quad (8)$$

где

$$S_{12} = -(1/\bar{y}_1) \left[\bar{R}_{12} - \bar{T}_{12} \bar{T}_{21} \sum_{m=1}^{\infty} \bar{R}_{21}^{m-1} \bar{y}_2^m \right]; \quad (9)$$

$$R_{12} = (z^2 - N_1 z_1^2)/U, \quad R_{21} = -(z^1 - N_1 z_1^1)/U, \quad (10)$$

$$T_{12} = (z^1 - z^2)/U, \quad T_{21} = N_1 (z_1^1 - z_1^2)/U,$$

$$\bar{R}_{12} = (\bar{z}_1^2 - \bar{N}_2 \bar{z}_2^2)/\bar{U}_1, \quad \bar{R}_{21} = -(\bar{z}_1^1 - \bar{N}_2 \bar{z}_2^1)/\bar{U}_1,$$

$$\bar{T}_{12} = (\bar{z}_1^1 - \bar{z}_1^2)/\bar{U}_1, \quad \bar{T}_{21} = N_2 (\bar{z}_2^1 - \bar{z}_2^2)/\bar{U}_1,$$

$$U = z^1 - N_1 z^2, \quad \bar{U}_1 = \bar{z}_1^1 - N_2 \bar{z}_2^2.$$

Здесь R_{12} , R_{21} — коэффициенты отражения, а T_{12} , T_{21} — коэффициенты прохождения на внешней границе раздела сред [5, 6]; \bar{R}_{12} , \bar{R}_{21} и \bar{T}_{12} , \bar{T}_{21} — соответственно коэффициенты отражения и прохождения на поверхности заполнителя.

Отметим, что на основании формул (8), (9) методом математической индукции легко привести вид функции $F(\alpha)$ для случая многослойной акустической сферы.

Если воспользоваться при $|\omega| \gg 1$, $|\alpha| \gg 1$ [$|\omega - \alpha| = O(\omega^{-1/2})$] асимптотическими разложениями Дебая для сферических функций Бесселя [4, 6] и соответствующей асимптотической формулой для функций $Q_\alpha^{(2)}(\theta)$ [4], то после преобразований интеграл (6) можно вычислить по методу перевала [2]. В результате получим

$$\bar{\mathcal{P}}_g = \bar{\mathcal{P}}_{000}(r, \theta, \omega) - \sum_{l=0}^{\infty} \sum_{\substack{m=l \\ m \neq 0}}^{\infty} \sum_{k=0}^{\infty} K_{mlk} \bar{\mathcal{P}}_{mlk}(r, \theta, \omega), \quad (11)$$

где

$$\begin{aligned} \bar{\mathcal{P}}_{mlk} &= G_{mlk} e^{i\omega \tau_{mlk}}; \quad l, k = \overline{0, \infty}; \quad m = \overline{l, \infty}; \\ G_{000} &= S_0 R_{12} / F_{000}; \quad G_{mlk} = S_0 T_{12} T_{21} R_{21}^{m-1} \bar{R}_{12}^{m-l} \times \\ &\times (\bar{T}_{12} \bar{T}_{21})^l \bar{R}_{21}^k / F_{mlk} \quad (m \neq 0); \quad K_{mlk} = \frac{i^{k+l} m! (l+k-1)!}{(m-l)! l! (l-1)! k!}; \quad (12) \\ F_{mlk} &= \left| 2r \cos \kappa \left[1 - \cos \gamma \left(\frac{m\beta_1}{\cos \delta} - \frac{m\beta_1}{\varepsilon \cos \eta} + \frac{(k+l)\beta_2}{\varepsilon \cos \xi} \right) \right] - \cos \gamma \right|^{1/2}; \\ \tau_{mlk} &= r \cos \kappa - 2 \cos \gamma + \frac{2m}{\beta_1} (\cos \delta - \varepsilon \cos \eta) + \frac{2(k+l)}{\beta_2} \varepsilon \cos \xi; \\ S_0 &= \rho_0 \sqrt{\frac{\sin 2\gamma}{2r \sin \theta}}. \end{aligned}$$

При этом $\sin \gamma = N = N_{mlk} = \frac{v}{\omega} \left(v = \alpha + \frac{1}{2} \right)$ — решение уравнения седловой точки

$$\theta_{mlk} = (k+l)(\pi - 2\xi) - \kappa + 2\gamma + 2m(\eta - \delta), \quad (13)$$

где

$$\sin \gamma = r \sin \kappa = \beta_1^{-1} \sin \delta = \varepsilon \beta_1^{-1} \sin \eta = \varepsilon \beta_2^{-1} \sin \xi, \quad (14)$$

а $\theta_{mlk} = \theta$ — полярный угол точки наблюдения во внешней среде, в которую поступают рассеянные волны.

Подставив выражение (11) в формулы (3) и (2), найдем давление в переизлученном импульсе:

$$\begin{aligned} (\rho_e)_g &\approx \rho_{000}(r, \theta, \tau) - \sum_{l=0}^{\infty} \sum_{\substack{m=l \\ m \neq 0}}^{\infty} \sum_{k=0}^{\infty} K_{mlk} \rho_{mlk}(r, \theta, \tau), \quad (15) \\ \rho_{mlk}(r, \theta, \tau) &= G_{mlk} e^{i(\tau - \tau_{mlk})}. \end{aligned}$$

Из анализа уравнения седловой точки (13) и формул (11), (12), (15) следует, что первый компонент в (15) соответствует импульсу, отраженному от внешней поверхности объекта. Последующие составляющие отвечают импульсам прохождения. При этом число $m-1$ ($m=1, 2, \dots$) равно количеству отражений преломленной волны от внешней поверхности внутри объекта, число l ($l=1, 2, \dots$) равно числу преломлений в заполнитель, а число $k-1$ ($k=1, 2, \dots$) — количеству внутренних отражений волн, проникших в заполнитель. На рис. 1 изображен ход лучей отраженных и преломленных волн (mlk) в начальный период их распространения. Отсюда, в частности, следует, что волны, отраженные внутрь оболочки и заполнителя образуют каустики — сферические поверхности радиусов $r_1 = \beta_1 \sin \gamma$ (в оболочке) и $r_2 = \beta_2 \sin \gamma$ (в заполнителе).

Сравнение нестационарных импульсов посылки (1) и приема (2) показывает, что отраженные и преломленные волны сохраняют вид набегающей волны. Однако это имеет место лишь вблизи их фронтов, так как результаты, представленные формулой (11), получены при $|\omega| \gg 1$ с помощью главных членов в асимптотических разложениях Дебая, в $Q_\alpha^{(2)}(\theta)$ и в методе перевала.

Удержание высших членов асимптотик приводит к искажению сигналов в процессе их распространения [6, 8]. Из геометрической картины и формул (11), (12), (15) следует, что величины τ_{mlk} определяют безразмерное время распространения импульсов при отражении или преломлении их на объекте

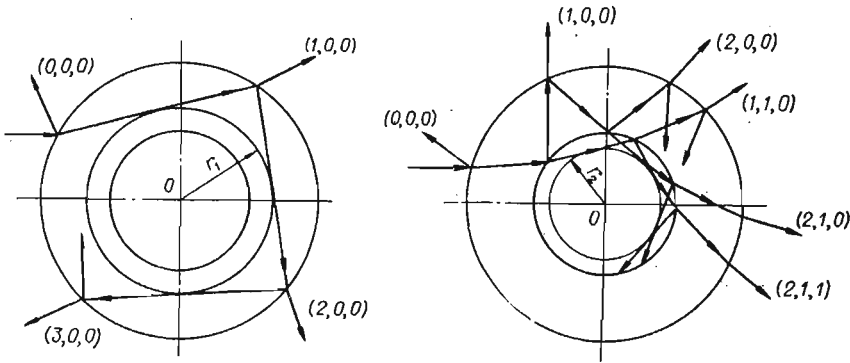


Рис. 1

и поступлении в точку наблюдения. Уравнение седловой точки (13) и равенства

$$\tau = \tau_{mlk} \quad (l, k = \overline{0, \infty}; \quad m = \overline{l, \infty}) \quad (16)$$

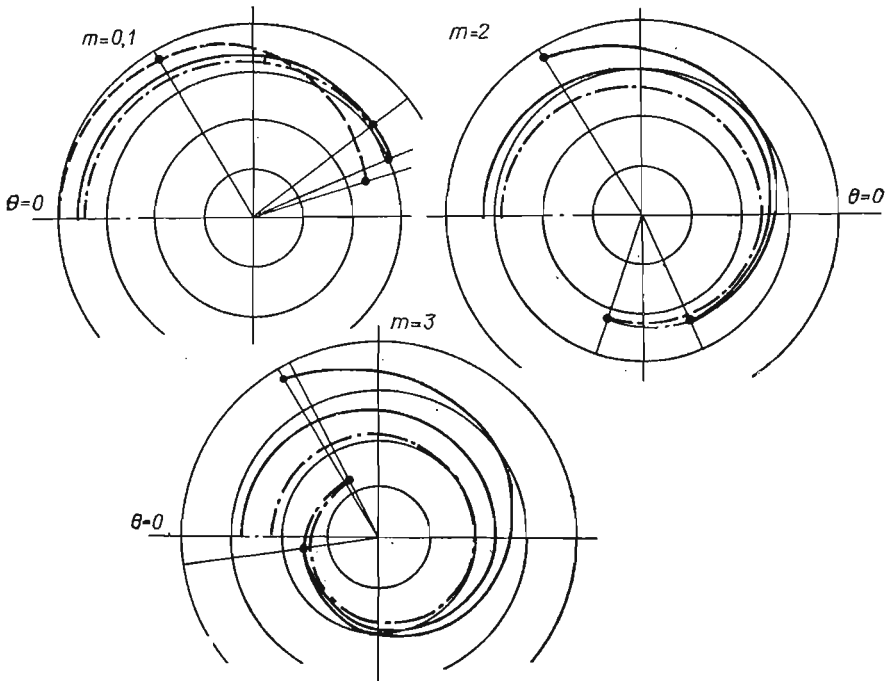


Рис. 2

при фиксированном $\tau = \tau_0$ позволяют определить положение фронта каждого импульса в отдельности, т. е. зависимость r от θ . В частности, при $r \gg 1$ из формул (12) имеем $\kappa \approx 0$ и

$$r_{mlk}(\theta) \approx \tau_0 + 2 \cos \gamma - \frac{2m}{\beta_1} (\cos \delta - \varepsilon \cos \eta) - \frac{2(k+l)}{\beta_2} \varepsilon \cos \xi. \quad (17)$$

При этом уравнение седловой точки принимает вид

$$\theta_{mlk} \approx (k+l)(\pi - 2\xi) + 2\gamma - 2m(\delta - \eta).$$

На рис. 2 изображены фронты волн при $\tau_0 = 2$ для случая сферической оболочки из воды ($c_1 = 1493$ м/с, $\rho_1 = 1$ г/см³) с акустически жестким или мягким заполнителем, находящейся в воздухе ($c = 330$ м/с, $\rho = 0,00129$ г/см³). Штриховой линией показан фронт прямо отраженной волны ($m = 0$), сплошной — фронт волн прохождения ($m = 1, 2, 3$) при $\varepsilon = 0,4$ и штрихпунктирной — фронт этих волн при $\varepsilon = 0,6$.

Для определения седловых точек можно использовать численные методы или графический способ, предложенный в работах [5, 6]. Здесь приведем

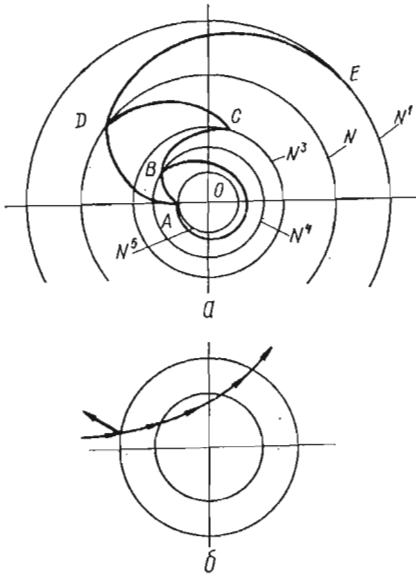


Рис. 3

еще одно графическое решение, более удобное с точки зрения понимания качественной картины волнового поля. Введем полярные координаты $M = \exp(N)$ и θ . Пусть для определенности $c < c_1 < c_2$ ($\beta_2 > \beta_1 > 1$). Тогда среди углов $\gamma, \kappa, \delta, \eta, \xi$ существуют угол тени для внешней поверхности ($N^1 = 1$), критический угол преломления в оболочку ($N^2 = \beta_1^{-1}$), угол тени для заполнителя ($N^3 = \varepsilon/\beta_1$) и критический угол волн преломления в заполнитель ($N^4 = \varepsilon/\beta_2$). На рис. 3 отложены концентрические окружности при этих значениях N и $N^5 = 0$. Кривые изображают график уравнения седловой точки (13) для волны отражения и первой волны прохождения (ход лучей изображен на рис. 3, б). Кривая ADE изображает график этого уравнения для прямо отраженной волны ($m = l = k = 0$). Кривая CD соответствует волне, проникающей внутрь оболочки и не касающейся поверхности ядра ($m =$

$= 1$), кривая AC характеризует волну, прямо отраженную от внутренней поверхности оболочки ($m = 1$), а кривая AB — волну, преломленную в заполнителе ($l = 1, k = 0$). Нетрудно построить аналогичные графики и для многократно преломленных и отраженных волн прохождения. Кривые зависимости седловых точек от θ будут соответствующим образом «наматываться» вокруг окружности $M = 1$. Решения уравнения (15) находим посредством определения координат точек пересечения окружностей $M = \text{const}$ с указанными кривыми.

Имея седловые точки, находим функции G_{mlk} и τ_{mlk} , а при заданной модуляции $f(\tau)$ импульса посылки — и форму переизлученных сигналов.

1. Нигул У. К., Метсавээр Я. А., Векслер Н. Д., Кутсер М. Э. Эхо-сигналы от упругих объектов.— Таллин: Изд-во АН ЭССР.— Т. 2.— 346 с.
2. Федорюк М. В. Метод перевала.— М.: Наука, 1977.— 368 с.
3. Фелсен Л., Маркувиц Н. Излучение и рассеяние волн.— М.: Мир, 1978.— Т. 1.— 552 с.
4. Хеня Х., Мауз А., Вестпфаль К. Теория дифракции.— М.: Мир, 1964.— 428 с.
5. Brill D., Überall H. Transmitted waves in the diffraction of sound from liquid cylinders.— J. Acoust. Soc. Amer., 1970, 47, N 5, part 2, p. 1467—1469.
6. Brill D., Überall H. Acoustic waves transmitted through solid elastic cylinders.— J. Acoust. Soc. Amer., 1971, 50 N 3, part 2, p. 921—939.
7. Doolittle R. D., Überall H., Ugincius P. Sound scattering by elastic cylinders.— J. Acoust. Soc. Amer., 1968, 43, N 1, p. 1—14.
8. Rudgers A. J., Überall H. Pulses specularly reflected by a soft cylinder.— J. Acoust. Soc. Amer., 1970, 48, N 1, part 2, p. 371—381.